

УДК 535.34 : 548.0 : 537.29

ВЛИЯНИЕ ВНЕШНЕГО ЭЛЕКТРИЧЕСКОГО ПОЛЯ  
НА ПОЛОСЫ ПОГЛОЩЕНИЯ *M*-ЦЕНТРОВ  
В КРИСТАЛЛАХ LiF И NaF

I. ИЗМЕРЕНИЕ И АНАЛИЗ С ПОМОЩЬЮ МЕТОДА МОМЕНТОВ

B. A. Крылов, B. N. Медведев и K. Ю. Фридланд

Исследовано влияние внешнего электрического поля на электронно-колебательные полосы поглощения 440 и 500 нм в  $\gamma$ -облученных кристаллах LiF и NaF. Наблюдавшееся изменение коэффициента поглощения связывается с квадратичными по полю сдвигом центра тяжести и уширением *M*-полосы.

Эффект Штарка в области полос поглощения *M*-центров в щелочно-галоидных кристаллах исследовался в [1-4] и был обнаружен в [2-4] с помощью методики измерений «дифференциальных спектров»

$$\Delta K(\nu) = K_{\mathcal{E}}(\nu) - K(\nu) \quad (1)$$

в переменном электрическом поле ( $K_{\mathcal{E}}(\nu)$  и  $K(\nu)$  в (1) — спектральный коэффициент поглощения кристалла в поле и без поля). Наблюдавшийся в области *M*-полосы спектр  $\Delta K(\nu)$  в [2, 4] интерпретировался при учете только чисто электронных квадратичных эффектов изменения интенсивностей и «жесткого» сдвига полос *M*-центра, взаимодействующих между собой во внешнем электрическом поле. В [3] для объяснения особенностей формы спектра  $\Delta K(\nu)$  привлекался электронно-колебательный механизм изменения формы (уширения) *M*-полосы.

В настоящей работе завершены начатые в [3] исследования влияния внешнего электрического поля на спектры  $\gamma$ -облученных кристаллов LiF и NaF в области соответственно 440 и 500 нм, где расположены полосы поглощения *M*-центров, отвечающие переходу  $A_{1g} \rightarrow B_{1u}$  [5]. Экспериментальные спектры  $\Delta K(\nu)$  обработаны с помощью метода моментов. При этом получены параметры, характеризующие изменение спектра  $K(\nu)$  в поле.

Измерение спектров  $\Delta K(\nu)$  проводилось с помощью стандартной дифференциальной методики [6] в переменном электрическом поле  $\mathcal{E} = \mathcal{E}_0 \cos 2\pi ft$  на частоте  $2f$ . Спектры  $\Delta K(\nu)$  исследовались при различных направлениях внешнего электрического поля  $\mathcal{E}$  и поляризации света  $E$  в кристалле ( $\mathcal{E} \parallel [001]$ ,  $E \parallel [001]$  и  $E \parallel [010]$ , а также  $\mathcal{E} \parallel [110]$ ,  $E \parallel [110]$ ,  $E \parallel [1\bar{1}0]$  и  $E \parallel [001]$ ). Образцы размером  $10 \times 3 \times 0.7$  мм<sup>3</sup> с длиной оптического пути  $\sim 3$  мм облучались на  $\gamma$ -источнике  $\text{Co}^{60}$  при комнатной температуре дозой  $\sim 5 \cdot 10^6$  Р. При этом безразмерный коэффициент поглощения  $K(\nu) = \ln J_0(\nu)/J(\nu)$  в максимуме полос  $K(\nu)$  (при  $\nu = \nu_0$ ) был  $K(\nu_0) \approx 1 - 1.5$  ( $J_0(\nu)$  и  $J(\nu)$  — интенсивности падающего на образец и прошедшего через образец света).

Для выяснения возможной роли наложения полосы поглощения  $F_3^+$ -центров, которая, как известно [7], перекрывается с *M*-полосой, проводились измерения на образцах с различным относительным содержанием  $F_3^+$ - и *M*-центров. На рис. 1 представлены полосы поглощения, не люминесценции и спектры  $\Delta K(\nu)$  кристалла NaF, исследовавшегося не-

посредственно после  $\gamma$ -облучения, и аналогичные спектры того же образца, выдержанного на свету при комнатной температуре (при этом разрушились  $M$ -центры). Видно, что одновременно с ослаблением  $M$ -полосы (коротковолнового участка полосы поглощения 500 нм [8]) и ослаблением люминесценции  $M$ -центров ( $\lambda=660$  нм) происходит уменьшение амплитуды спектра  $\Delta K(\nu)$ . В кристаллах LiF при прогреве образца ( $T=200^\circ\text{C}$ ) уменьшалась относительная (по сравнению с  $M$ -центраторами) концентрация  $F_3^+$ -центров [9]. При этом заметных изменений амплитуды  $\Delta K(\nu)$  мы не наблюдали.

Таким образом, наблюдавшийся непосредственно после  $\gamma$ -облучения дифференциальный сигнал  $\Delta K(\nu) = -\Delta J(\nu)/J(\nu) \approx 2 \cdot 10^{-4}$  однозначно связан с  $M$ -центраторами ( $\Delta J(\nu) = J_{\mathcal{E}}(\nu) - J(\nu)$ ;  $J_{\mathcal{E}}(\nu)$  и  $J(\nu)$  — интенсивности прошедшего через образец света в поле и без поля).

На рис. 2 представлены экспериментальные спектры  $K(\nu)$  и  $\Delta K(\nu)$ , приведенные к  $K(\nu_0) = 1$ . Амплитуда  $\Delta K(\nu)$ , как видно, сильно зависит от ориентации  $\mathcal{E}$  и  $\mathbf{E}$ , а форма в пределах погрешности эксперимента остается постоянной. Спектры  $\Delta K(\nu)$  имеют форму дисперсионной кривой, напоминающей характерную для квадратичного эффекта Штарка первую производную от контура исследуемой полосы [6]. Все кривые  $\Delta K(\nu)$ , однако, сдвинуты относительно контура полосы по сравнению с обычной первой производной так, что отрицательный экстремум  $\Delta K(\nu)$  почти совпадает с максимумом полосы  $K(\nu)$ , а положительный экстремум и точка  $\Delta K(\nu) = 0$  расположены на ее длинноволновом склоне. Амплитуда  $\Delta K(\nu)$  пропорциональна  $\mathcal{E}_0^2$  (рис. 3).

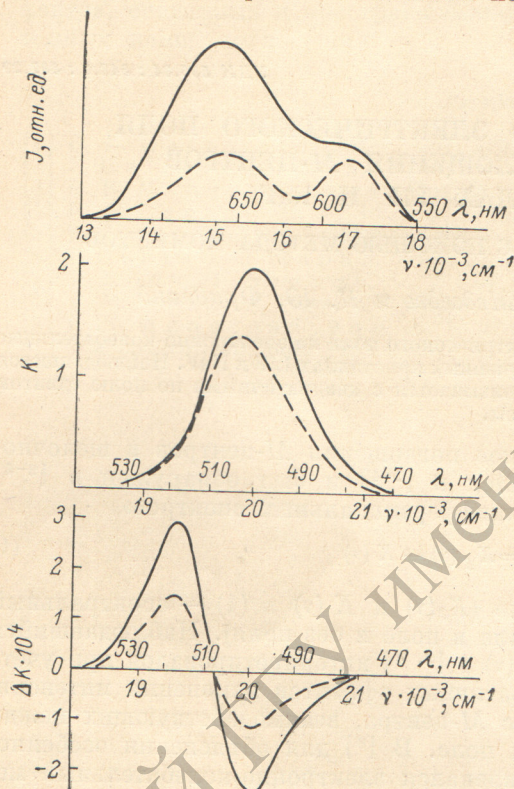


Рис. 1. Спектры люминесценции (без коррекции на чувствительность ФЭУ), поглощения и дифференциального поглощения кристаллов NaF.

*a* — непосредственно после  $\gamma$ -облучения, *b* — те же образцы после выдержки их на свету при комнатной температуре.  $\mathcal{E}_0 = 140$  кВ/см,  $\mathcal{E} \parallel [100]$ .

Как известно [10],  $M$ -центры образуют в кристалле шесть ориентационно вырожденных [11] групп соответственно шести осям [110], вдоль которых ориентирована пара анионных вакансий  $F_2$ . Изображенные на рис. 2 сплошными линиями спектры  $\Delta K(\nu)$  являются «суммарными», т. е. они образованы всеми группами  $M$ -центров. Для отделения эффектов, связанных с ориентационным вырождением, в NaF нами был получен также спектр  $\Delta K(\nu)$   $M$ -центров, ориентированных вдоль одной оси [110] (рис. 2, штриховые линии). Ориентация  $M$ -центров достигалась по методу [12] освещением  $\gamma$ -облученного кристалла NaF светом  $\lambda=330$  нм, поляризованным вдоль [110], при 77 К. Степень ориентации центров контролировалась по соответствующему дихроизму поглощения в  $M$ -полосе. Электрическое поле  $\mathcal{E}$  к кристаллу с ориентированными  $M$ -центраторами прикладывалось вдоль осей центра  $x \parallel [001]$ ,  $y \parallel [110]$ ,  $z \parallel [110]$  [5]. Электрический вектор света  $\mathbf{E}$  был направлен параллельно оптическому диполю перехода  $A_{1g} \rightarrow B_{1u}$   $M$ -центра, т. е. вдоль  $z \parallel [110]$ . Оказалось, что в поле  $\mathcal{E} \parallel z$  амплитуда  $\Delta K(\nu)$  была максимальной, составляя в максимуме  $M$ -полосы  $[\Delta K(\nu_0)/K(\nu_0)]_z = 1 \cdot 10^{-14}$  (В/см) $^{-2}$ . При направлениях внеш-

шего поля вдоль других осей центра  $\mathcal{E} \parallel x$  и  $\mathcal{E} \parallel y$   $[\Delta K(\nu_0)/K(\nu_0)]_y \approx [\Delta K(\nu_0)/K(\nu_0)]_x < 5 \cdot 10^{-16}$  ( $B/cm$ ) $^{-2}$ . Форма спектра  $\Delta K(\nu)$  ориенти-

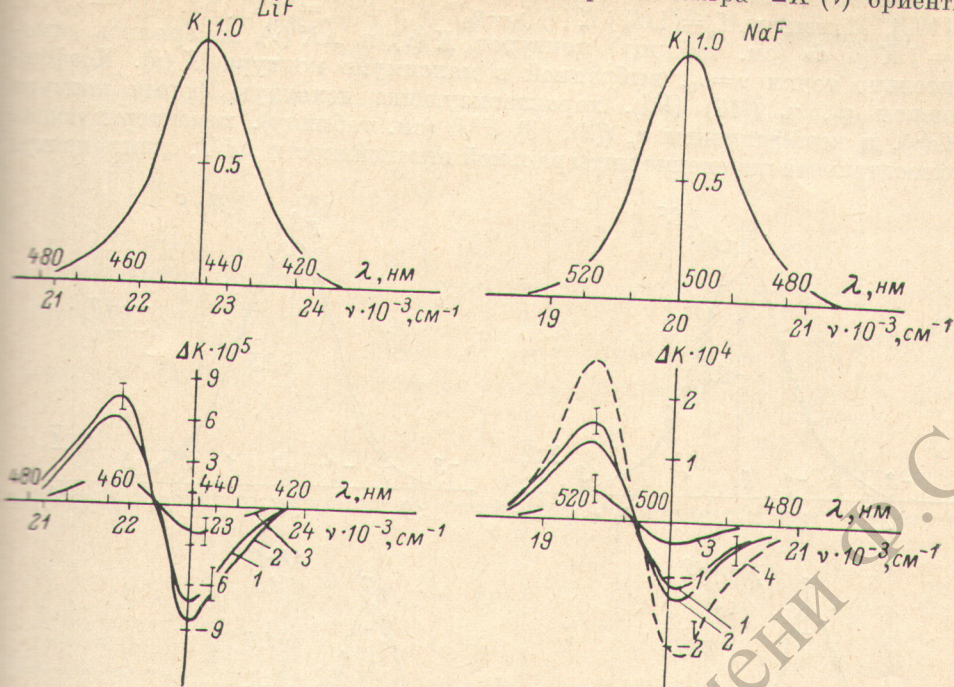


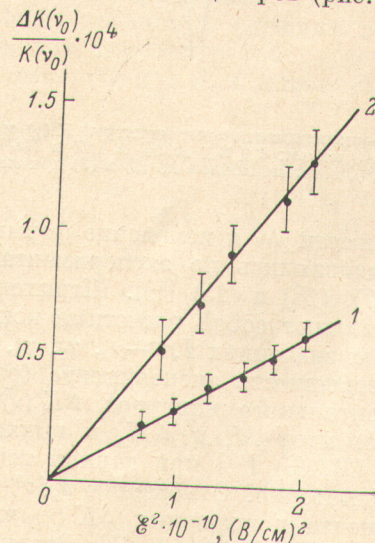
Рис. 2. Спектры поглощения  $K(\nu)$  и дифференциального поглощения  $\Delta K(\nu)$   $\gamma$ -облученных кристаллов LiF и NaF, приведенные к  $K(\nu_0)=1$ , при различных направлениях внешнего электрического поля  $\mathcal{E}$  и поляризации света  $E$  в образце.  
1 —  $\mathcal{E} \parallel [100]$ ,  $E \parallel [100]$ ; 2 —  $\mathcal{E} \parallel [110]$ ,  $E \parallel [110]$ ; 3 —  $\mathcal{E} \parallel [110]$ ,  $E \parallel [1\bar{1}0]$ . 4 — спектр  $\Delta K(\nu)$  ориентированных по [110]  $M$ -центров в NaF.  $\epsilon_0=140$  кВ/см.

рованных  $M$ -центров в пределах погрешности эксперимента не отличались от формы суммарных спектров неориентированных центров (рис. 2).

Обрабатывались с помощью метода моментов (см. (2)–(6), (8), (15)–(20) [13]) приведенные к  $K(\nu_0)=1$  контуры  $K(\nu)$  и  $\Delta K(\nu)$ , изображенные на рис. 4 сплошной линией. Спектр  $K(\nu)$  в LiF представляет собой контур «чистой»  $M$ -полосы, выделенный из общей полосы  $M$ - и  $F_3^+$ -центров 440 нм по спектру возбуждения [14]. В NaF использовался измеренный на спектрофотометре Jouan DF-170 общий контур полосы 500 нм, поскольку из-за сильного перекрытия  $F_3^+$ - и  $M$ -полос люминесценции, а также нестабильности  $M$ -центров в NaF при

Рис. 3. Полевая зависимость амплитуды дифференциального поглощения  $\Delta K(\nu_1)/K(\nu_0)$ .  $\mathcal{E} \parallel E \parallel [100]$ .

1 — LiF,  $\nu_1=21\ 850$  см $^{-1}$ ; 2 — NaF,  $\nu_1=19\ 400$  см $^{-1}$ .



интенсивном освещении образца, выделение реального контура  $M$ -полосы по спектру возбуждения не было достаточно надежным.<sup>1</sup> Контуры  $\Delta K(\nu)$  пред-

<sup>1</sup> В обоих случаях (LiF и NaF), согласно [8, 14], а также нашим исследованиям, контур  $K(\nu)$  чистой  $M$ -полосы при обычных условиях  $\gamma$ -облучения (см. выше) лишь

ставляют собой усредненные по нескольким измерениям на различных образцах экспериментальные спектры  $\Delta K(\nu)$  в поле  $E_0 = 1.4 \cdot 10^5$  В/см при  $E \parallel [100]$ . Моменты  $M_n = (1/I) \int K(\nu) (\nu - \nu_0)^n d\nu$  и  $\Delta M_n = (1/I) \int \Delta K(\nu) (\nu - \nu_0)^n d\nu$ ,  $I = \int K(\nu) d\nu$  (см. таблицу) контуров  $K(\nu)$  и  $\Delta K(\nu)$  измерялись относительно точки  $\nu = \nu_0$ , выбранной в максимуме контура  $K(\nu)$ . Коэффициенты  $\gamma_1, \gamma_2$  ((17) [13]), характеризующие исходную форму контура  $K(\nu)$ , и коэффициенты  $a_n$  ((2), (3) [13]) (см. таблицу), характеризующие относительное изменение интегральной интенсивности  $\Delta I/I$ , сдвиг центра

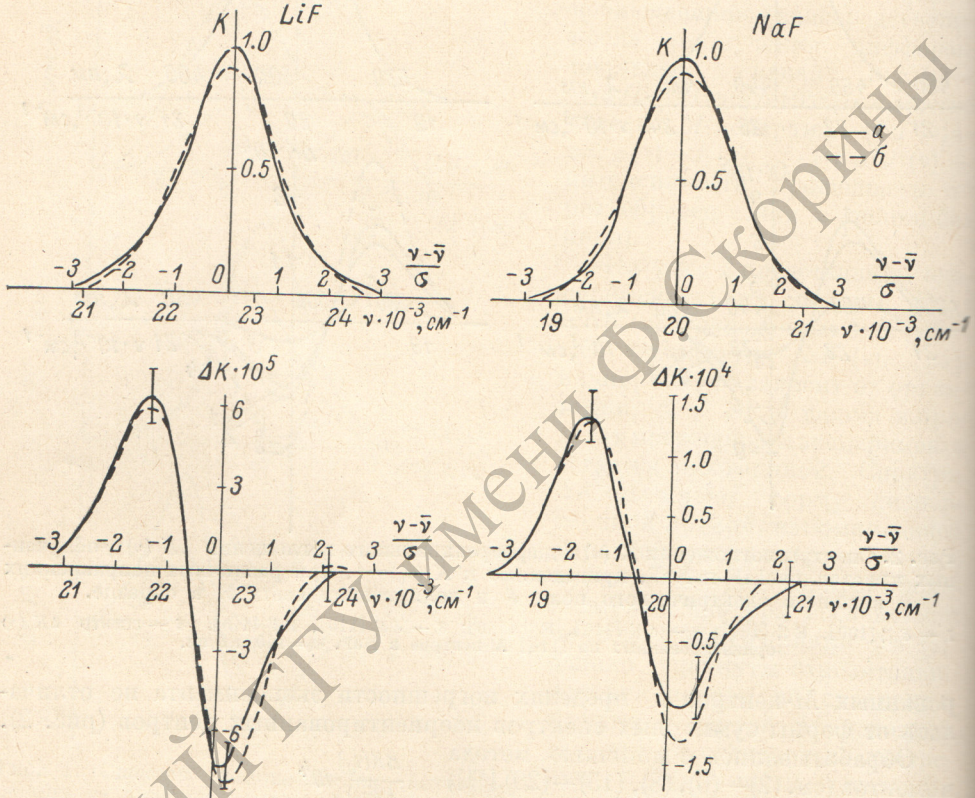


Рис. 4.

*a* — экспериментальные спектры  $K(\nu)$  и усредненные дифференциальные спектры  $\Delta K(\nu)$  ( $E_0 = 140$  кВ/см;  $E \parallel E \parallel [100]$ ) в LiF и NaF в области  $M$ -полос поглощения. *б* — контуры  $\Delta K(\nu) \equiv K(\nu)$ , восстановленные по (2) и (3) при экспериментальных значениях соответствующих параметров (см. таблицу).

тяжести  $\Delta\bar{\nu}$  и изменение формы  $\Delta\sigma_n$  полосы  $K(\nu)$  в поле (см. (8) в [13]), вычислялись по экспериментальным значениям  $M_n$  и  $\Delta M_n$  с помощью (17), (18) и (15) [13]. Штриховые контуры  $K(\nu)$  и  $\Delta K(\nu)$  (рис. 4) представляют собой расчетные контуры (17) и (19) [13] при экспериментальных значениях  $I, \bar{\nu} - \nu_0, \gamma_1, \gamma_2, \sigma, a_n$  (см. таблицу). Совпадение в пределах погрешности эксперимента (рис. 4) расчетного и усредненного экспериментального контуров  $\Delta K(\nu)$  указывает на то, что число измеренных моментов  $M_n$  и  $\Delta M_n$  и вычисленных с их помощью коэффициентов  $a_n$  в (2), (3) [13] при данной точности измерения контуров  $K(\nu)$  и  $\Delta K(\nu)$  достаточно. Отношения  $a_n/\sigma^n$  характеризуют вклад в изменение коэффициента поглощения  $\Delta K(\nu)$  членов, спектрально зависящих как производные  $\partial^n K(\nu)/\partial \nu^n$  [13]. Очевидно (см. таблицу, б), что в обоих случаях (LiF и NaF) основной вклад в  $\Delta K(\nu)$  дают члены, пропорциональные  $a_1 \partial K(\nu)/\partial \nu$  и  $a_2 \partial^2 K(\nu)/\partial \nu^2$ , характеризующие с точностью до членов

незначительно отличается от контура общей полосы  $M$ - и  $F_3^+$ -центров (440 и 500 нм), в частности, благодаря значительно меньшему по сравнению с  $M$ -центрами поглощению  $F_3^+$ -центров.

Моменты  $M_n$  и дифференциальные моменты  $\Delta M_n$  экспериментальных контуров  $K(\nu)$  и  $\Delta K(\nu)$  (рис. 4, сплошные кривые), измеренные относительно максимума полос  $K(\nu)$  при  $\nu = \nu_0$  ( $\text{LiF} - \nu_0 = 22\,700 \text{ см}^{-1}$ ,  $\text{NaF} - \nu_0 = 20\,000 \text{ см}^{-1}$ ), и параметры расчетных контуров  $K(\nu)$  и  $\Delta K(\nu)$  (рис. 4, штриховые), полученные по (15), (17), (18) [13]

а

Кристалл	$I, 2,3 \cdot \text{ед. опт.}$ поп. $\cdot \text{см}^{-1}$	$M_1 = \bar{\nu} - \nu_0$ $\text{см}^{-1}$	$M_{2*}, (\text{см}^{-1})^2$	$M_3, (\text{см}^{-1})^3$	$M_4, (\text{см}^{-1})^4$	$\sigma_2, (\text{см}^{-1})^2$	$\sigma_3, (\text{см}^{-1})^3$	$\sigma_4, (\text{см}^{-1})^4$	$\sigma, \text{см}^{-1}$	$\sigma^3, (\text{см}^{-1})^3$	$\sigma^4, (\text{см}^{-1})^4$	$\gamma_1$	$\gamma_2$
LiF	1265	-25.9	3.52 · $\cdot 10^5$	-4.88 · $\cdot 10^7$	3.9 · $\cdot 10^{11}$	3.52 · $\cdot 10^5$	-2.16 · $\cdot 10^7$	3.86 · $\cdot 10^{11}$	590	20.6 · $\cdot 10^7$	1.24 · $\cdot 10^{11}$	-0.105	0.11
NaF	965	50.6	1.7 · $\cdot 10^5$	3.3 · $\cdot 10^7$	0.95 · $\cdot 10^{11}$	1.68 · $\cdot 10^5$	0.745 · $\cdot 10^7$	0.907 · $\cdot 10^{11}$	410	6.88 · $\cdot 10^7$	0.283 · $\cdot 10^{11}$	0.108	0.20

б

Кристалл	$\Delta I, 2,3 \cdot \text{ед. опт.}$ поп. $\cdot \text{см}^{-1}$	$\Delta M_1, \text{см}^{-1}$	$\Delta M_2, (\text{см}^{-1})^2$	$\Delta M_3, (\text{см}^{-1})^3$	$\Delta M_4, (\text{см}^{-1})^4$	$a_0 - 1$	$a_1/\sigma$	$a_2/\sigma^2$	$a_3/\sigma^3$	$a_4/\sigma^4$		
LiF	-0.825 · $\cdot 10^{-2}$	-4.65 · $\cdot 10^{-2}$	30.8	-0.477 · $\cdot 10^5$	0.499 · $\cdot 10^8$	-0.6 · $\cdot 10^{-5}$	7.9 · $\cdot 10^{-5}$	4.4 · $\cdot 10^{-5}$	-0.3 · $\cdot 10^{-5}$	-0.6 · $\cdot 10^{-5}$		
NaF	1.06 · $\cdot 10^{-2}$	-7.0 · $\cdot 10^{-2}$	40	-0.43 · $\cdot 10^5$	0.335 · $\cdot 10^8$	4.1 · $\cdot 10^{-5}$	17.1 · $\cdot 10^{-5}$	13.6 · $\cdot 10^{-5}$	3.5 · $\cdot 10^{-5}$	-0.3 · $\cdot 10^{-5}$		

$\sim \mathcal{E}^4, \mathcal{E}^6$  сдвиг центра тяжести и уширение  $M$ -полосы ( $a_1 \approx -\Delta \bar{\nu}$ ,  $a_2 \approx \frac{1}{2} \Delta \sigma_2$ ) (см. (8) в [13]). Члены, пропорциональные ( $a_0 - 1$ )  $K(\nu)$ ,  $a_3 \cdot \partial^3 K(\nu)/\partial \nu^3$ ,  $a_4 \cdot \partial^4 K(\nu)/\partial \nu^4$ , характеризующие изменение интенсивности  $\Delta I/I$ , дополнительную асимметрию  $\Delta \sigma_3 M$ -полосы, индуцированную внешним полем, и изменения формы, связанные с изменением 4-го центрального момента  $\Delta \sigma_4$  (см. (8) в [13]), дают вклад в  $\Delta K(\nu)$ , меньший или на пределе погрешности эксперимента (рис. 2-4).

Уширение  $M$ -полосы проявляется также в дифференциальных спектрах  $\Delta K(\nu)$   $M$ -центров в  $\text{KCl}$ , форма которых и расположение относительно контура  $M$ -полосы, как хорошо видно на рис. 7 работы [2], аналогична наблюдаемым в случае  $M$ -центров в  $\text{LiF}$  и  $\text{NaF}$  (рис. 2, 4).

#### Литература

- [1] A. W. Overhauser, H. Rüchardt. Phys. Rev., 112, 722, 1958.
- [2] C. R. Rhyneg, I. R. Cameron. Phys. Rev., 169, 710, 1968.
- [3] В. А. Крылов, В. Н. Медведев, К. Ю. Фридланд. В сб.: Люминесцентные материалы и особо чистые вещества, вып. 11, Ставрополь, 1974.
- [4] L. A. De Werd. Phys. Stat. Sol. (b), 52, 207, 1972.
- [5] A. Meuyer, R. F. Wood. Phys. Rev., 133, A1436, 1964.
- [6] А. А. Каплянский, В. Н. Медведев, А. П. Скворцов. Опт. и спектр., 29, 905, 1970.
- [7] «Physics of Color Centers». Ed. by W. Fowler, Academic Press, New-York-London, 1968.
- [8] D. F. Holcomb, A. Chandra. J. Chem. Phys., 51, 1509, 1969.
- [9] Y. Farge, G. Toulouse, M. Lambert. J. de Physiq., 27, 287, 1966.
- [10] П. П. Феофилов. ДАН СССР, 92, 743, 1953.
- [11] А. А. Каплянский. Опт. и спектр., 16, 602, 1964.
- [12] K. Elsässer, H. Seidel. Phys. Stat. Sol., 43, 301, 1971.
- [13] В. Н. Медведев. Опт. и спектр., 42, 129, 1977.
- [14] V. N. Medvedev. J. Z. Damm. Acta phys. polon., A46, 33, 1974.

Поступило в Редакцию 25 марта 1976 г.